

ԼՈՆՁԵՐԻ ԽՈՐՔԱՅԻՆ ՍՈՂՔԻ ՏԵՍԱԿՆԵՐԸ ԺԱՅՈԱՊԱՐՆԵՐՈՒՄ*

Պրոֆեսոր, տեխն. գիտ. դոկտոր ԳԵՈՐԳ ՏԵՐ-ԱՌԵՎԱՆՅԱՆ**

Ա ե թ ե ր ա տ: Լանջերի խորքային սողբը լայնորեն տարածված երևույթ է, որը նկատվում է, ոչ միայն գրունտներում, այլև ժայռապարներում: Ժայռապարներում ձևափոխություններն ընթանում են շափազանց զանդաղ և ունեն զարավոր բնույթ: Երկրաբանական կառուցվածքից և ապարների շերտերի սեղողական բնութագրերից կախված հանդիպում են խորքային սողբի զանագան տիպերը: Հարթային խորքային սողբը կատարվում է երկար լանջերի վրա, երբ շերտերն ընկնում են լանջերն զուգահեռ և ապարներն ունեն տարրեր ունեղիսական բնութագրերը: Հարթային խորքային սողբին են պատկանում սալիքի սահումը, կոնսեկվենտ սողբը, ըլուների տարածողումը, մերկացումների սողբը և շերտագրությունների սողբը: Պատական խորքային սողբը կատարվում է կարճ լանջերի վրա, երբ լանջի մարմինը բաղկացած է միասնա ժայռապարներից: Պատական խորքային սողբին պատկանում են ասեկվենտ սողբը և S-ակերպ սողբը: Լանջերի ընդհանուր խորքային սողբը ձևափոխությունների տարածված տեսակ է, որը տեղի է ունենաւ տարրեր երկրաբանական պայմաններում: Այստեղ կարելի է առանձնացնել ինսեկվենտ սողբը և կոմպենսացիոն սողբը: Առաջարկվում է բարոր նման երկրաբանական կառուցվածքներն անվանել թերածին կառուցվածքներ:

Լանջերի խորքային սողբը լայնորեն տարածված երևույթ է, որը նկատվում է, ոչ միայն գրունտներում, այլև ժայռապարներում: Լանջերի նման ձևափոխությունների բազմաթիվ տարրեր տեսակներ արգելն նկարագրվել են զանագան անվանումների տակ՝ Talzuschub—սահում զեպի հովիտ (Stini, 1952; Müller, 1955**), cambering—կրում ու bulging—արտափրում (Hollingsworth et al., 1944), Hackenwerfen—շերտագրությունների ծռում (Stini, 1952) կամ outerop curvature—մերկացումների ծռում (Cotton, 1949). գրավիտացիոնные структуры—գրավիտացիոն կառուցվածքներ (Шульц, 1961) և այլն:

Լոնջերի այս բոլոր ձևափոխությունների ընդհանուր պատճառը հատուկ լարված վիճակն է, որը ժայռապարներում առաջանում է սեփական կշռի հետեւանքով, եթե դրանք սահմանափակված են թեր հարթությամբ: Լարումների

* Լիսարոնում 1966 թ. կայացած ժայռային ապարների մեխանիկայի միջազգային հասարակության Առաջին կոնցրեսին ներկայացրած զեկուցումը Զեկուցումը Հրատարակվել է կոնցրեսի աշխատություններում (G. Ter-Stepanian, Types of depth creep of slopes in rock masses, Proceedings, First Congress, International Society for Rock Mechanics, Lisbon 1966, 2:157—160).

** ՀԱՍՀ ԳԱ երկրաբանական դիտությունների ինստիտուտի գեոմեխանիկայի բաժնի վարիչ:

*** Գրականությունը տե՛ս՝ էջ 65—66:

բաշխումը լանջի մարմնում անհամաշափ է: Այն կախված է ոչ միայն լանջի երկրաշափական բնութագրերից և տպարների ծավալային կշռի մեծությունից, այլև ժայռապարներում գերկոնսոլիդացիայի, չորացման, տեկտոնիկ լարում, ների և այլնի հետևանքով մնացորդային լարումների բաշխումից:

Սողքի ձևափոխության արագությունը կախված է ժամանակից և սահմանափակված դիմադրությունից: Սողքի ձևափոխությունները արտահայտվում են լանջի մարմնի այն մասում, ուր դիմադրությունը սահման լիովին մուրիլիզացված չէ և այդպիսով չի կարող կտրումը տեղի ունենալ, այսինքն պլաստիկ փլուզումը, սակայն այդ դիմադրության մորիլիզացումը բավարար է սողքի առաջացման համար (Տեր-Մտեփանյան, 1965):

Ժայռապարներում սողքի ձևափոխություններն ընթանում են շափականց դանդաղ, դրա հետևանքով էլ սողքի ընթացքը նման ապարներում կրում է դարավոր բնույթ:

Սողքի ձևափոխության տեսակը կախված է ապարների ոեոլոգիական ատկություններից և շերտի տեղադիրքի ու մակերեսույթի թեքության վիճակաբարներությունից: Հեշտությամբ առանձնանում են ժայռապարներում լանջերի սողքի ձևափոխությունների հետեւյալ երեք գլխավոր տեսակները՝ հարթացին, պտտական և ընդհանուր:

ԼԱՆՋԵՐԻ ՀԱՐԹԱՅԻՆ ԽՈՐՔԱՅԻՆ ՍՈՂՔԸ

Հարթացին խորքային սողքը տեղի է ունենում երկար լանջերում, երբ շերտերը կամ արմատական ապարների և հողմահարման փուխր նյութերի միջև սահմանն ընկնում է լանջին զուգահեռ և ապարներն ունեն ոեոլոգիական տարբեր հատկություններ:

Երկար լանջերում շերտերի հաստությունը սովորաբար անհամեմատ փոքր է, լանջի բարձրությունից, այդ իսկ պատճառով կարելի է անտեսել շերտերի մերժավորությունների աղղեցությունը լարումների բաշխման վրա (պատկերացում անվերջ լանջի մասին):

Նման լանջերում բոլոր ուղղաձիգները կարող են աղեկված համարվել, այդ գեպքում շերտերի սողքի ձևափոխության բնույթը կախված կլինի միայն մակերեսույթի հեռավորությունների պահանջումը, մերկացումների սողքը և շերտավորությունների սողքը: Մտորե տրվում է զրանց նկարագրությունը:

Հարթ խորքային սողքին են պատկանում տարբեր հեղինակների կողմից նկարագրված հետեւյալ երեսույթները՝ սալերի սահմանը, կոնսեկվենտ սողքը, բլոկների տարասողումը, մերկացումների սողքը և շերտավորությունների սողքը: Մտորե տրվում է զրանց նկարագրությունը:

1. Սալերի սահման: Լանջերի այս տիպի ձևափոխությունը տեղի է ունենում շերտավոր կամ ճեղքավոր ապարներում, երբ լանջը կողմնորոշված է շերտաշմբի հարթություններին զուգահեռ, և երբ համաձույլ Ա սալը թեր Բ հիմքից բաժանվում է հողմահարված ապարների կամ այլ թուլացված նյութերի Ծ բարակ շերտով (նկ. 1*): Սողքի ձևափոխությունները կատարվում են այս շերտում, որպանք կարող են առաջանալ ուղղաձիգ տեկտոնիկ բարձրացումով, որը նպաստում է լանջի թեքության աստիճանական մեծացմանը, կամ հողմահարումով,

* Նկարները տե՛ս էջ 67—69:

ԴՐԱ ՀԱՆԳԵցնում է սահի տակ ընկած շերտի սահքին դիմադրության աստիճանավագական նվազմանը (Տերցար, 1958): Վերոհիշյալ շերտի խորքային սողքի բարպարության ատանումները կարող են առաջանալ պյեղումներիկ մակարդակի ոփոփոխություններից, չըստ մուտքի պայմանների փոփոխման հետևանքով՝ բժեշտեղ տեղատարարափների կամ արագ ձնհաների պատճառով, կամ գետնաջրեր և այլ ելքի պայմանների փոփոխությունից՝ լանջի ստորին մասում:

Կատվերի սահումը տեղի է ունենում բաղմաթիվ լեռնային երկրներում: Եղանակին հազարամյակի ընթացքում ամենաբիշը 20 խոշոր սողանը է տեղի ունեցած Շվեյցարիայում Ռուսակարգ լեռան հարավային լանջում (Կորը, 1936): Այն բոլոր գետերում մերգելի շերտով սահել են երրորդական նազելֆլյու կամ դակեր (կրային կապերով կոնգումներաներ): Այդ լանջի վրա սալերի աստիճանավագարար արագացող սահքի դասական օրինակը նախորդեց Գոլդառի մոտ 182/806 թ. տեղի ունեցած խոշորագույն սողանքին (Heim, 1932; Տերցար, 1958): Գրանդողքի ընթացքը սկսվեց ոչ ավելի ուշ, քան սողանքից 20 տարի առաջ և ուժեղանում էր խոնավ տարիներին՝ 1799, 1804 և 1805 (Zay, 1807):

2. Կոնսեկվենտ* սողք: Լանջերի ձեւափոխության այս ձևը տեղի է ունենում այսակ շերտավոր ապարներում, եթե լանջը կողմնորոշված է շերտախմբի հարավային ուղիղանը գուղահեռ, բայց երկրաբանական կառուցվածքն իրենից ներկայացնում է կոշտ և փափուկ ապարների հերթագայություն (նկ. 2): Փափուկ ապարներում զարգանում է խորքային սողք, իսկ կոշտ շերտերը տեղաշարժվում ամեն առանց ձեւափոխության: Սողքի այս ձևի հետևանքով AB ուղղաձիվ դիմումներածում է AC բարդ գծի, որը կազմված է S-ակերպ մասերից փափուկ շերտավորում և ուղղաձիվ հատվածներից՝ կոշտ շերտերում: Այդ ձեւափոխությունների մեջ նեխանիզմը ցույց է տրված մի ուրիշ աշխատաթյան մեջ (Տեր-Ստեփանյան, 1965): Քանի որ շերտերի դրությունը այս գետքում մնում է անփոփոխ, ապա ցայլությունը ձեւափոխությունները կարող են բացահայտվել հատուկ շափումներով, ժայռագրինակ, դիմանան հորերում (Տեր-Ստեփանյան, 1965): Խորքային սողքի փուլից մնացած աղետային փուլի՝ սովորաբար կատարվում է փափուկ շերտերից մեկի գրանդերկայնքով, սահքին դիմադրության լրիվ մորիլիզացման առկայությամբ. ՀՀՀ-ն սահեցման պոտենցիալ մակերեսույթի դիրքն է:

3. Բլոկների տարատղում: Լանջերի ձեւափոխության այս տեսակը տեղի է ունենում այն գեղքերում, եթե շերտախմբի թեք հարթության վրա ընկած և բարձրացած ձեղքերի միջոցով բլոկների բաժանված կոշտ սալը ստորագրված է բարձրացարված ապարներից կամ այլ պլաստիկ նյութերից: Հաճախ այդ ձեղքերը կազմում են ուղղանկյուն ցանց: Ստորին A բլոկների շարժումը սկսվում է վաղ և ընթանում է ավելի արագ, քան վերին B, C բլոկներինը (նկ. 3): Այդ հակա պատճառով բլոկները տարատղում են պլաստիկ D շերտի մակերեսույթով և բլոկների միջին առաջանում է ուղղանկյուն E անցումների սիստեմը: Նման ցանցուղքի օրինակ է ծառայում Խոստայի, Սոչիի մոտ գտնվող Լարիրինթեսը: Այս բանեղ վերին կամային կրաքարերի բլոկները սահում են շերտախմբի մակերեսույթով, անկման անկյունը հավասար է 10° : Բլոկների միջին լայնությունը կազմում է 6—8 մետր, դրանց միջև անցումների լայնությունը տատանվում է՝ 13—5 սանտիմետրի՝ լանջի վերին մասում և մինչև 12 մետրի՝ ստորին մասում:

* «Կոնսեկվենտ», «ասեկվենտ» և «ինսեկվենտ» տերմինները մտցրել է պրոֆ. Ֆ. Պ. Սահակյաններին սողքային երկույթներն ուսումնասիրելին (Саваренский, 1939).

Նման ձևափոխությունների մի քանի օրինակներ նկարագրել է Շարպը (Sharpe, 1938), որը դրանց անվանել է «ժայռներ» (rock cities):

4. Մերկացումների սողբը: Լանջերի ձևափոխությունների այս տեսակը տեղի է ունենում, երբ գահավեծ անկման շերտերը մերկանում են երկրի մակերևույթի մոտերքում, դելլուպիի ու ստորադիր արմատական ապարների միջև կուտակար զուգահեռ է լանջին, և շերտագլուխները զոնվում են ջրի ֆաղային կուտակար զուգահեռ է լանջին, և շերտագլուխները զոնվում են ջրի ֆաղային վերափոխումների (սառում և հալցում) կամ չերմության և խոնավության եղանակային փոփոխությունների գոտում (նկ. 4): Դա հասցնում է հողմահարման նակային փոփոխությունների գոտում (նկ. 4): Դա հասցնում է հողմահարման արդյունքների զարիվայր տեղաշարժմանը և շերտագլուխների ծովածք (Ter-Stepanян, 1964): Այս երկույթը ոչ միայն ֆիզիկական սողբի հետևանքն է սեղողիկ առումով, այլև քայլեալված բեկորների զարիվայր տեղաշարժումը հեղաշացնող վերոհիշյալ եղանակային փոփոխություններին աջակցող աղջիշտացնող վերոհիշյալ եղանակային փոփոխություններին այս ձևի երկրացումների սողբի է ունենում կարճ լանջերում, երբ լանջը կազմված է համասեռ ժայռապարներից: Սողբի գոտու վիճակը որոշվում է լարումների բաշխման պայմաններով: Այդ Ա գոտին առաջանում է որոշ խորության վրա, մոտավորապես լանջի հատակում, որտեղ սահմանվում է դորժակիցը զերազանցում է սահմանային լցոն դորժակիցը զերազանցում է սահմանային լցոն մերժացումների ծովածքը (կետպէկը, նկ. 6):

5. Մերկացումների սողբը: Լանջերի ձևափոխությունները արագություններ համեմատական է լցոն-լցոն ալիքումիներին: Սողբի ձևափոխությունները սկզբից կենտրոնանում են այս գո-

* Այստեղ փորձ է արված տարբերակել շերտագլուխների ծովածք (Hackenwerfen), կախված սողբի արտահայտման պայմաններից, որոնք որոշվում են դելլուպիալ ծածկույթի հաստությամբ: Եթետագլուխների ծովածքը մենք ստորաբաժանում ենք մերկացումների սողբի և շերտագլուխների սողբի:

նառում և պառկյա են առաջացնում սահեցման BB պոտենցիալ մակերևույթի լարվարկայնքով, որեւէ C կենտրոնի շուրջը: Զարգացող սողունության հետևանքով վրանդեցի է ունենում լարումների վերաբաշխում և ժամանակի ընթացքում պրոցեսն էի մեջ ներդրավում աղեղնածեն D գոտին (Հաստ գիծ, նկ. 6):

Պատական խորքային սողքին հն վերաբերում լանջերի ձևափոխության առջևուկու տեսակ՝ ասեկվենտ սողք և S-ակերպ սողք:

1. Ասեկվենտ սողքը (նկ. 6) տեղի է ունենում այն ժայռապարներում, ու զառունք շերտավորված չեն: Զեափոխությունների որոշումը դժվարանում է ցույց տալիք շերտերի բացակայության պատճառով: Որոշ գեպքերում սողքի այս տեսակը կարող է որոշվել սահեցման հայելիների շնորհիվ, որոնք առաջանում են սողքի երկայնքով թեփուկավոր մասնիկների կողմնորոշման հետևանքով նաև նման այլ նշաններով:

2. S-ակերպ սողքը նախորդ տեսակից տարբերվում է նրանով, որ ժայռագույնարները ներկայացված են գահավեժ անկման շերտերով, որոնք ունեն միևնույն կարգի մածուցիկության գործակցի մեծություն: Դարավոր սողքի հատեմանքով շերտերի մի մասը, որ տեղադրված է վերոհիշյալ D գոտու սահմանադրում, աստիճանաբար ծովում է և դառնում S-ակերպ (նկ. 7):

Օրը շերտերը հասնում են երկրի մակերևույթին, դրանց հողմահարված ասցիլիսամասերում հանդես է գալիս նաև մերկացումների սողք կամ շերտագլուխությունների սողք: Նման գեպքերում կարող է դիտվել սողքի երկու տեսակների զույգացում: Որպես օրինակ կարող է ծառայել ալպիական հովիտներից մեկի սուրբանքը (Տալօբր, 1960):

ԼԱՆՁԵՐԻ ԸՆԴՀԱՆՈՒՐ ԽՈՐՔԱՅԻՆ ՍՈՂՔԸ

Ընդհանուր խորքային սողքը ներկայացնում է լանջերի ձևափոխության մշային տարածված տեսակ, որն արտահայտվում է այն գեպքերում, երբ լանջի դարմանի երկրաբանական կառուցվածքը տարբերվում է վերոհիշյալ պարզ տեղակներից: Գոյություն ունեն ընդհանուր խորքային սողքի շատ տարատեսակներ, որոնք գենես անբավար են տարբերակված: Կարող են հեշտությամբ առատանձնացվել սողքի հետևյալ երկու տեսակները՝ ինսեկվենտ և կոմպենսացիոն:

1. Ինսեկվենտ սողքը տեղի է գտնում, երբ թեք տեղադիրք ունեցող A լույսմպետենտ շերտերը ձևափոխվում են ստորադիր, ոչ կոմպետենտ B շերտերի սողքի հետևանքով (նկ. 8): Փափուկ ստորադիր շերտերի սողքի հետևանքով անձիգի է ունենում զիմանքաման թուլացում և սողքը տարածվում է ծածկող չափությամբ ապարանքությամբ: Սողունության ուղղությունը հատում է շերտափառքի դարմաթությունը: Ալդափիսի մեխանիզմը ուներ Կանադայի Ալբերտա նահանգում, եղանակի մոտի Տերքալ սարի 1903 թվականի խոշորագույն սողանքը, ուր արագ առաջանան մեջ էր ներդրավել մոտ 30 միլիոն խորանարդ մետր ապար: Շածկող լորաբարերը խորքային սողքի փուլում բաժանվել էին ճաքերի սիստեմով, որոնք լորատեղ էին սարի հակառակ լանջը (Terzaghi, 1958; McConnel and Brock, 1904):

Լանջերի վրա կարող են դիտվել սողունության կազմովի տեսակները, որոնք որոշվում են լանջի երկրաբանական կառուցվածքով: Ալդափիսի կազմովի տեսակներից առաջանում է մեկը, երբ շերտերն ընկնում են լանջի անկման

կողմբ, շերտավորման հարթությունը հորիզոնի հետ ավելի փոքր անկյուն է կազմում, քան լանջի մակերևույթը և ստորին շերտերից մի քանիսը հանդիսանում են ոչ կոմպետենտ: Լանջի մարմնի ստորին մասում ոչ-կոմպետենտ շերտերի երկայնքով տեղի են ունենում կոնսեկվենտ սողբ, այն ժամանակ երդզրավերին մասում առաջանում է ինսեկվենտ սողբ: Արդյունքը լինում է ձեղդիրի սիստեմի առաջացումը, որոնք հատում են շերտախումբը վերին մասում:

2. Կոմպենսացիոն սողբը առաջանում է հորիզոնական շերտավորում ունեցող էրողիոն հովիտներում, երբ կոմպետենտ A շերտերի տակ ընկած են լինում ոչ-կոմպետենտ B շերտերը (նկ. 9): Էրողիայի հետևանքով հովտի բռնաբափված C հատակը արտափրվում է դեպի վեր, ոչ-կոմպետենտ շերտերում երևան է գալիս D մանր ծալքավորություն: Հովտի կողերը իջնում են, դրա ընթացքը ուղեկցվում է կոմպետենտ ժայռապարների չարդումով ըլոկների: Բլոկները թեքվում են և շարժվում հովտի հատակի ուղղությամբ: Արդյունքը լինում է արտափրում (bulging) միջին մասում և կրում (cumbering) կողային մասերում:

Օրինակ կարող է ծառայել կենտրոնական Անգլիայի նորտհեմփտոնի երկաթանքներում հորատման աշխատանքների ժամանակ բացված խոշոր մասշտարի սողբը (Hollingworth et al., 1944): Ուրիշ դեպքեր դիտվել են Սիրիայում (Пальшин и Тржинский, 1963) և Զեխոսովակիայում (Zágora, 1956):

Կոմպենսացիոն և ինսեկվենտ սողքերի տարբերությունը ավելի լավ հասկանալու համար կարելի է համեմատել հիմքի փլուզումը և լանջի փլուզումը, որոնք հայտնի են գրուտների մեխանիկայում:

Երկրի մակերևույթի մոտ, լանջերի վրա ապարների կամ գրունտների սողունության հետևանքով առաջացող երկրաբանական ստրոկտորաները երբեմն վերագրվում են գրավիտացիոն ստրոկտորաներին (гравитационные структуры; Шульц, 1961); դրանք հակագրվում են տեսկառնիկ ստրոկտորաներին: Քանի որ գրավիտացիան անփոփոխ կերպով մասնակցում է երկրի վրա կատարվող բոլոր պրոցեսներին, «գրավիտացիոն» տերմինը ճշգրիտ չէ: Առաջարկվում է բոլոր նման ստրոկտորաները, որոնք առաջանում են մակերեսույթին մոտ, անվանել թերմին ստրոկտորաներ, դրանով ընդգծելով այդ ստրոկտորաների առաջացման միակ պատճառը՝ մակերևույթի թերությունը:

* Նման կազմովի սողբի օրինակը ցուցարերված էր Ս. Նովոսագի կողմից նրա քննադատման մեջ կոնքրետում (Novosad, 1967).

ТИПЫ ГЛУБИННОЙ ПОЛЗУЧЕСТИ СКЛОНОВ В СКАЛЬНЫХ ПОРОДАХ*

Профессор, доктор техн. наук Г. И. ТЕР-СТЕПАНЯН**

Реферат. Глубинная ползучесть склонов представляет собой широко распространенное явление, которое обнаруживается не только в грунтах, но и в скальных породах. Деформации скальных пород протекают чрезвычайно медленно и имеют вековой характер. В зависимости от геологического строения и реологических характеристик пластов пород различаются различные типы глубинной ползучести. Плоскостная подглубинная ползучесть происходит на длинных склонах, когда пластины падают параллельно склону и породы имеют различные реологические характеристики. К плоскостной глубинной ползучести относятся сползание плит, консеквентная ползучесть, концентрическое сползание блоков, ползучесть обнажений и ползучесть голов пластов. Вращательная подглубинная ползучесть происходит на коротких склонах, когда тело склонов состоит из однородных скальных пород. К вращательной глубинной ползучести относятся асекущая ползучесть и S-образная ползучесть. Общая глубинная ползучесть склонов является распространенным типом деформации, имеющей место в разных геологических условиях. Здесь могут быть выделены инсеквентная ползучесть и компенсационная ползучесть. Предлагается все такие геологические структуры называть клиногенными структурами.

Глубинная ползучесть склонов представляет собой широко распространенное явление, обнаруживающееся не только в грунтах, но и в скальных породах. Многие различные типы такой деформации склонов уже описаны под разными наименованиями: Talzuschub—сползание в долину (Stini, 1952, Müller, 1955***), cambering—выгибание и bulging—выпучивание (Hollingworth et al., 1944), Hackenwerfen—загиб голов пластов (Stini, 1952) или outcrop curvature—изгиб обнажений (Cotton, 1949), гравитационные структуры (Шульц, 1961) и др.

Общей причиной всех этих типов деформаций склонов является однородное напряженное состояние, которое возникает в скальных породах вследствие их собственного веса, если они ограничены наклонной поверхностью. Распределение напряжений в теле склона неравномерно. Оно зависит не только от геометрических характеристик склона и значений объемного веса пород, но и от распределения остаточных напряжений в скальных породах вследствие переконсолидации, высыхания, тектонических напряжений и т. д.

Скорость деформации ползучести зависит от времени и значения обсубилизованного сопротивления сдвигу. Деформации ползучести проявляются в той части тела склона, где сопротивление сдвигу не полностью

* Доклад, представленный Первому конгрессу Международного общества механики скальных пород, состоявшемуся в 1966 г. в Лиссабоне. Доклад был опубликован в журналах конгресса (G. Ter-Siepanian. Types of depth creep of slopes in rock masses proceedings, First Congress, International Society for Rock Mechanics, Lisbon 1966, 157–160).

** Зав. отделом геомеханики Института геологических наук АН Арм. ССР.

*** Литературу см. на стр. 65–66.

мобилизовано и, таким образом, не может иметь места срез, т. е. пластическое обрушение; однако это сопротивление мобилизовано в достаточной мере для создания ползучести (Тер-Степанян, 1961).

В скальных породах деформации ползучести протекают чрезвычайно медленно и поэтому процесс ползучести в таких породах носит вековой характер.

Тип деформации ползучести зависит от реологических свойств пород и соотношения между элементами залегания пласта и наклоном поверхности. Легко выделяются три главные группы типов деформаций ползучести в скальных породах: плоскостная, вращательная и общая.

ПЛОСКОСТНАЯ ГЛУБИННАЯ ПОЛЗУЧЕСТЬ СКЛОНОВ

Плоскостная глубинная ползучесть происходит на длинных склонах, когда пласти или граница между коренными породами и рыхлыми продуктами выветривания падают параллельно склону и породы обладают различными реологическими характеристиками.

В длинных склонах толщина пластов обычно несравненно меньше высоты склона; поэтому можно пренебречь влиянием концов пластов на распределение напряжений (представление о бесконечном склоне).

В таких склонах все вертикали могут рассматриваться как адекватные; тогда характер деформации ползучести пластов будет зависеть только от расстояния от поверхности и реологических свойств рассматриваемого пласта.

К плоскостной глубинной ползучести относятся следующие явления, описанные разными авторами: сползание плит, консеквентная ползучесть, расплывание блоков, ползучесть обнажений и ползучесть головы пластов. Их описание дается ниже.

1. Сползание плит. Этот тип деформации склонов происходит в слоистых или трещиноватых породах, когда склон ориентирован параллельно плоскостям напластования слоистых горных пород и когда монолитная плита A отделяется от наклонного основания B тонким слоем C выветрелых пород или другого ослабленного материала (рис. 1*). Деформации ползучести происходят в этом слое; они могут быть вызваны вертикальным тектоническим поднятием, которое ведет к постепенному увеличению наклона склона, или выветриванием, которое ведет к постепенному уменьшению сопротивления сдвигу и подстилающему плиту слою (Терцаги, 1958). Колебания скорости глубинной ползучести упомянутого слоя могут быть вызваны изменениями пьезометрического уровня вследствие изменения условий поступления воды при сильных ливнях или быстром снеготаянии, или условий выхода грунтовых вод из нижней части склона.

Сползание глин происходит во многих горных странах. В течение последнего тысячелетия произошло по крайней мере 20 крупных опол-

* Рисунки см. на стр. 67—69.

ней на южном склоне горы Россберг в Швейцарии (Kopp, 1936). Во ~~хозе~~ этих случаях по пласту мергеля сползали третичные глины нагель-
юлю (конгломераты с известковистыми связями). Классический пример
этотоестепенно ускоряющегося сползания плит на этом склоне предшество-
вал крупнейшему оползанию у Гольдау в 1806 г. (Heim, 1932; Терцаги,
(88)1958). Процесс ползучести начался не позднее, чем за 20 лет до оползня,
но усилывался во влажные годы—1799, 1804 и 1805 (Zay, 1807).

2. *Консеквентная** ползучесть. Этот тип деформации склонов про-
исходит также в слоистых породах, когда склон ориентирован парал-
лельно плоскости напластования, но геологическое строение представля-
ет собой чередование жестких и мягких пород (рис. 2). В мягких
слоях развивается глубинная ползучесть, тогда как жесткие слои пере-
зываются без деформации. В результате этого типа ползучести верти-
кальная линия *AB* превращается в сложную линию *AC*, состоящую из
S-образных участков в мягких слоях и вертикальных отрезков—в жест-
ких. Механизм этих деформаций был показан в другой работе (Тер-
Степанян, 1961). Так как элементы положения пластов при этом оста-
ются неизменными, эти деформации могут быть выявлены специальны-
ми измерениями, например в наблюдательных колодцах (Тер-Степанян,
965). Переход от фазы глубинной ползучести в катастрофическую
фазу оползания обычно совершается вдоль одного из мягких пластов,
при полной мобилизации сопротивления сдвигу; *DD* есть положение
потенциальной поверхности скольжения.

3. *Расползание блоков*. Этот тип деформации склонов происходит
в случаях, когда жесткая плита, лежащая на наклонной плоскости
напластования и разбитая вертикальными трещинами на блоки, под-
стилается выветрелыми породами или другим пластичным материалом.
Начасто эти трещины образуют ортогональную сетку. Движение нижних
блоков *A* начинается ранее и происходит быстрее, чем верхних блоков
B, C (рис. 3). Поэтому блоки расползаются по поверхности пластичного
слоя *D* и образуется ортогональная система проходов *E* между блока-
ми. Примером такой ползучести является Лабиринт в Хосте, у Сочи, на
Черноморском побережье Кавказа. Здесь блоки верхнемеловых извест-
няков расползаются по поверхности напластования; угол падения равен
10°—10°. Средняя ширина блоков составляет 6—8 м; ширина проходов меж-
ду блоками колеблется между 3—5 см в верхней части склона и 12 м в
нижней части. Некоторые примеры подобных деформаций были описаны
Шарпом (Sharpe, 1938), который назвал их «скальными городами»
(rock cities).

4. *Ползучесть обнажений*. Этот тип деформаций склонов происхо-
дит, когда круто падающие пласти обнажаются вблизи дневной поверх-
ности, контакт между делювием и подстилающими коренными породами
параллелен склону и головы пластов находятся в зоне фазовых превра-

* Термины «консеквентный», «асеквентный» и «инсеквентный» были введены проф.
Ф. Ф. П. Саваренским (1939) при анализе оползневых явлений.

щений воды (замерзания и оттаивания) или сезонных изменений температуры и влажности (рис. 4). Это ведет к перемещению вниз по склону продуктов выветривания и к образованию загиба голов пластов (Тер-Степанян, 1964). Это явление представляет собой следствие не только физической ползучести в реологическом смысле, но и стимулирующего влияния упомянутых сезонных изменений, облегчающих смещение распавшихся обломков вниз по склону. В. Пенк (1961) приписывает это явление механическому воздействию движущихся масс на их ложе. В результате возникает загиб голов обнаженных пластов (Cotton, 1949).

5. Ползучесть голов пластов. Геологические условия этого типа деформаций склонов отличаются от предшествующего в том отношении, что мощность t делювиальных отложений покрывающих головы круто падающих пластов превышает глубину d зоны сезонных изменений температуры, влажности и фазовых изменений воды (рис. 5). В этом случае в верхнем рыхлом слое A происходит плоскостная глубинная ползучесть; скорость ползучести v достигает максимума v_m на контакте BC с подстилающими породами (Тер-Степанян, 1961). При переходе к этим породам скорость глубинной ползучести убывает на несколько порядков (Тер-Степанян, 1964). Так как граница DE между выветрелыми и невыветрелыми породами приблизительно параллельна откосу FG ползучесть носит плоскостный характер. Деформация представляет собой ползучесть в реологическом смысле. Ее результатом является загиб голов прикрытых пластов*. Некоторые примеры загиба голов пластов приводятся М. Зингером (Singer, 1932).

ВРАЩАТЕЛЬНАЯ ГЛУБИННАЯ ПОЛЗУЧЕСТЬ СКЛОНОВ

Вращательная глубинная ползучесть происходит на коротких склонах, когда тело склона состоит из однородных скальных пород. Положение зоны ползучести определяется условиями распределения напряжений. Эта зона A образуется на некоторой глубине, приблизительно под подошвой склона, где значения коэффициента мобилизованного сопротивления сдвигу $\operatorname{tg}\theta$ превышают предельное значение $\operatorname{tg}\theta_0$ (пунктирная линия, рис. 6).

Скорость деформации ползучести пропорциональна избытку $\operatorname{tg}\theta - \operatorname{tg}\theta_0$. Деформации ползучести концентрируются вначале в этой зоне и вызывают вращение вдоль потенциальной поверхности скольжения BB' вокруг некоторого центра C . Вследствие прогрессирующей ползучести происходит перераспределение напряжений и со временем в процесс вовлекается дугообразный пояс D (жирная линия, рис. 6).

* Здесь сделана попытка дифференцировать загиб голов пластов (Hackenwerfen) в зависимости от условий проявления ползучести, определяемых мощностью делювиального покрова. Загиб голов пластов иами подразделяется на ползучесть обнажений и ползучесть голов пластов.

К вращательной глубинной ползучести относятся два типа деформаций склонов: асеквентная ползучесть и S-образная ползучесть.

1. Асеквентная ползучесть (рис. 6) происходит в скальных породах, обладающих слоистостью. Определение деформаций затруднено ввиду отсутствия индикаторных пластов. В некоторых случаях этот тип ползучести может быть установлен благодаря образованию зеркал скольжения вследствие ориентации чешуйчатых частиц вдоль направления ползучести или по другим подобным признакам.

2. S-образная ползучесть отличается от предшествующего случая тем, что скальные породы здесь представлены круто падающими пластами, имеющими значение коэффициента вязкости одного порядка. Вследствие вековой ползучести часть пластов, расположенных в пределах вышеуказанного пояса D , постепенно изгибаются и принимают S-образную форму (рис. 7).

Если пласты достигают дневной поверхности, в их выветрелых концовках проявляются также ползучесть обнажений или ползучесть концовок пластов. В этих случаях может наблюдаться сочетание двух типов ползучести. В качестве примера может служить оползень в одной из Альпийской долине (Талобр, 1960).

ОБЩАЯ ГЛУБИННАЯ ПОЛЗУЧЕСТЬ СКЛОНОВ

Общая глубинная ползучесть представляет собой широко распространенный вид деформаций склонов, проявляющийся в случаях, когда геологическое строение тела склона отличается от вышеупомянутых простых типов. Существует много разновидностей общей глубинной ползучести, которые пока еще недостаточно дифференцированы. Следующие два типа могут быть легко выделены: инсеквентная ползучесть и некомпенсационная ползучесть.

1. Инсеквентная ползучесть имеет место, когда наклонно залегающие компетентные слои A деформируются в результате ползучести подстилающих некомпетентных слоев B (рис. 8). Вследствие ползучести подстилающих мягких пластов происходит ослабление упора и ползучесть распространяется на покровные жесткие породы. Направление ползучести пересекает плоскость напластования. Таким механизмом обладал крупнейший оползень на склоне горы Тертл у Френка, шт. Альберта (Канада), где в быстрое движение было вовлечено около 0,80 млн. кб. м породы. Покрывающие известняки в фазе глубинной ползучести были разбиты системой трещин, глубоко прорезавших обратный склон горы (Терцаги, 1958; McConnel and Brock, 1904).

На склонах могут наблюдаться составные виды ползучести, определяемые геологическим строением склона. Один из таких случаев имеет место, когда пласты падают в сторону склона, плоскость напластования образует с горизонтом меньший угол, чем поверхность склона, и некоторые из нижележащих слоев являются некомпетентными. Для нижней части тела склона вдоль некомпетентных слоев характерна консеквент-

ная ползучесть, тогда как в его верхней части имеет место инсеквентная ползучесть. В результате возникает система трещин, рассекающих напластование в верхней части*.

2. Компенсационная ползучесть возникает в эрозионных долинах с горизонтальным напластованием, когда компетентные A слои подстилаются некомпетентными B слоями (рис. 9). Вследствие эрозии разгруженное дно C долины выпучивается вверх; в некомпетентных слоях проявляется мелкая складчатость D. Борта долины испытывают опускание, сопровождаемое разламыванием компетентных скальных пород на блоки. Блоки наклоняются и движутся по направлению ко дну долины. В результате возникает выпучивание (bulging) в средней части и выгибание (cumbering) в боковых частях.

В качестве примера может служить ползучесть крупного масштаба, обнаруженная при вскрышных работах на Нортгемптонском железорудном месторождении в центральной Англии (Hollingworth et al., 1944). Другие случаи наблюдались в Сибири (Пальшин и Тржинский, 1963) и в Чехословакии (Záruba, 1956).

Для лучшего понимания различия между компенсационной и инсеквентной ползучестью можно сравнить обрушение основания и обрушение склона, известное в механике грунтов.

Иногда геологические структуры, образующиеся у поверхности в результате ползучести пород или грунтов на склонах, относят к гравитационным структурам (Шульц, 1961); они противопоставляются тектоническим структурам. Поскольку гравитация неизменно участвует во всех процессах на Земле, термин «гравитационная» неточен. Предлагается все подобные структуры, образующиеся у поверхности, называть *клиногенными структурами*, подчеркивая единственную причину их образования—наклон поверхности.

TYPES OF DEPTH CREEP OF SLOPES IN ROCK MASSES**

Professor, Dr. Techn. Sc. GEORGE TER-STEPANIAN***

Abstract. Depth creep of slopes is a wide spread phenomenon which manifests not only in soils but in rock masses as well. Deformation of rock masses proceeds extremely slow and the process is of secular nature. Different types of depth

* Пример подобной составной ползучести был продемонстрирован С. Новосадом в его дискуссии настоящего доклада на конгрессе (Novosod, 1967).

** A paper presented to the First Congress of the International Society for Rock Mechanics, held in 1966 in Lisbon. The paper was published in the Proceedings of the Congress, vol II, p. 157—160.

*** Head, Dept. of Geomechanics, Geological Institute, Armenian Academy of Sciences.

creep are distinguished depending on the geological structure and rheological characteristics of rock strata. Planar depth creep occurs on long slopes when the strata dip parallel to the slope and rocks have different rheological characteristics. To the planar depth creep belong creeping of slabs, consequent creeping, creeping away of blocks, outcrop creeping and terminal creeping. Rotational depth creep occurs on short slopes when the slope body consists of homogeneous rock masses. To the rotational depth creep belong asequent creeping and S-like creeping. General depth creep is a common type of slope deformation which occurs in different geological conditions. Here may be distinguished inequent creeping and compensating creeping. It is proposed to designate all such geological structures as clinogenic structures.

Depth creep of slopes is a wide spread phenomenon which reveals not only in soil but in rock masses as well. Many different types of such deformation of slopes have been already described under various names—Talzuschub (Stini, 1952, Müller, 1955), cumbering and bulging (Hollingsworth et al., 1944), Hackenwerfen (Stini, 1952) or outcrop curvature (Cotton, 1949), гравитационные структуры—gravitational structures (Шульц, 1961) etc.

A common cause of all these deformations is the special stress condition which originates in rock masses due to their own weight when they are bounded by inclined surfaces. The stress distribution in slope bodies is far from being uniform. It depends not only on geometrical features of the slope and values of unit weight of rocks but on distribution of residual stresses in rock masses due to the overconsolidation, drying, tectonical stresses etc.

The rate of creep deformation depends on time and values of mobilized shear strength. The creep deformation reveals in those parts of slope body where the shear strength is not mobilized totally to cause shear, i.e. plastic failure, but it is mobilized enough to cause creep (Ter-Stepanian, 1963).

The creep deformation of rocks proceeds extremely slow, and therefore the process of creep in rock masses is of a secular nature.

The character of creep deformation depends on the rheological properties of rocks and on the relation between the position of beds and that of the slope. Three main groups of types of creep deformations in rock masses may be easily distinguished: planar, rotational and general.

PLANAR DEPTH CREEP OF SLOPES

Planar depth creep occurs on long slopes when the strata or the boundaries between rocks and loose products of weathering dip parallel to the slope and rocks have different rheological characteristics.

In long slopes the thickness of strata is usually incomparably less than the height of the slope; therefore the influence of edges of strata on the stress distribution may be neglected (conception of an infinite slope).

In such slopes all the verticals may be considered as adequate; then the character of the creep deformation of the layer will depend only on the distance from the surface and rheological properties of the layer considered.

To the planar depth creep belong the following phenomena described by different authors: creeping of slabs; consequent creeping; creeping away of blocks; outcrop creeping and terminal creeping. Their description is given below.

1. *Creeping of slabs.* This type of slope deformation occurs in stratified or jointed rocks when the slope is orientated parallel to the bedding planes of the stratified mass and the monolithic slab A separates from the inclined base B by a thin layer C of weathered rock or other weak material (Fig. 1*). Creep deformations take place in this layer; they may be caused by vertical tectonic movement which leads to the gradual increase of slope inclination or to the weathering which leads to the gradual decrease of shear strength of the layer underlying the slab (Terzaghi, 1950). The fluctuations of the rate of depth creep of the mentioned layer may be caused by variations of piezometric level due to the changes of condition of water inlet during heavy rainstorms or rapid melting of snow in the upper part of the slope or the conditions of groundwater outlet in the lower part of the slope.

Creeping of slabs proceeds in many mountainous countries. At least 20 big landslides took place during the last millennium on the southern slope of Rossberg mountain in Switzerland (Kopp, 1936); in all these cases slabs of Tertiary Nagelflu (conglomerate with calcareous binder) creep on the marl beds. A classical example of gradually accelerated creeping of a slab on this slope preceded the biggest landslide near Goldau in 1806 (Heim, 1932; Terzaghi, 1950). The process of creeping started not later than for 20 years before the landslide and accelerated in wet years 1799, 1804 and 1805 (Zay, 1807).

2. *Consequent** creeping.* This type of slope deformation occurs in the stratified rocks too, when the slope is orientated parallel to the bedding planes, but the geological structure represents an alternation of strong and weak strata (Fig. 2). The depth creep develops in weak layers while the strong ones displace without deformation. As a result of such type of creeping a vertical line AB transforms into a complex line AC composed of S-like sections in weak strata and vertical segments in strong ones. The mechanism of these deformations was shown in another publication (Ter-Stepanian, 1963). Since the bed position remains unaltered these deformations may be revealed by special measurements, e.g. in observational wells (Ter-Stepanian, 1965a). The transition from the depth creep phase to the catastrophic slide usually occurs along

* Figures see p. 67-69.

** Terms "consequent", "asequent" and "insequent" were introduced by Prof. Saverensky when analysing landslide phenomena (Саваренский, 1939).

one of the soft strata when the shear strength is totally mobilized; DD is the potential surface of sliding.

3. *Creeping away of blocks.* This type of slope deformation occurs in cases when the rigid slab lying on an inclined bedding plane and separated into blocks by vertical fissures is underlaid by weathered rocks or another plastic material. These fissures often form an orthogonal network. The movement of lower A blocks start earlier and proceeds quicker than that of upper B , C blocks (Fig. 3). Therefore, the blocks creep away from one another over the plastic layer D and an orthogonal system of paths E between blocks is formed. An example of such creeping represents the Labyrinth in Khosta near Sochi on the Black Sea shore of Caucasus; here blocks of the Upper-Cretaceous limestone creep away along the bedding plan; the angle of dip equals 10° . The average width of blocks is 6–8 meters while the width of paths between blocks ranges from 3–5 centimeters in the upper part of the slope up to 12 meters in its lower part. Some examples of such deformations were described by C.F.S. Sharpe (1938), who calls them „rock cities“.

4. *Outcrop creeping.* This type of slope deformation occurs when steeply dipping strata outcrop near the day surface, the contact with the overlying talus deposits being parallel to the slope and the upper edges of rocks are in the zone of phase transformation of water (freezing and thawing) or of seasonal changes of temperature and moisture (Fig. 4). This leads to the downhill migration of products of weathering and to the formation of hooked rock creep (Ter-Stepanian, 1965b). This phenomenon is not the result of physical creeping in the rheological sense only, but of the stimulating effect of the mentioned seasonal changes which enables the downhill movement of disintegrated fragments. W. Penk (1924) ascribed this phenomenon to the mechanical action of moving masses on their beds. Its result is the outcrop curvature (Cotton, 1949).

5. *Terminal creeping.* The geological conditions of this type of slope deformation differs from the preceding one in that respect that the thickness t of the talus deposits covering the upper edges of steeply dipping beds exceeds the depth d of the zone of seasonal changes of temperature, moisture and phase transformation of water (Fig. 5). Planar depth creep occurs in the upper loose layer A ; the rate v of creep reaches its maximum v_m at the contact BC with the underlying rocks (Ter-Stepanian, 1963, 1965b). After transition to these rocks the rate of depth creep decreases by several orders. Since the boundary DE between the weathered and unweathered rocks is approximately parallel to the slope FG the creep is planar. The deformations must be determined as creep in the rheological meaning. Its result is the terminal curvature*. One can find some examples of this by M. Singer (1932).

* Terms „outcrop curvature“ and „terminal curvature“ ought to be considered as synonyms (Sharpe, 1938), corresponding to the German term Hackenwerfen (Stini, 1952). Here an attempt is made to differentiate this term, according to the conditions of creep manifestation determined by the thickness of talus cover.

ROTATIONAL DEPTH CREEP OF SLOPES

Rotational depth creep occurs on short slopes when the slope body consists of homogeneous rock masses. The position of creeping zone is determined by conditions of stress distribution. This zone A is formed in a certain depth approximately underneath the slope toe where the values of the coefficient $\tan \theta$ of mobilized shear strength exceed the bond value $\tan \theta_0$ (dash line, Fig. 6).

The rate of creep deformation is proportional to the excess $\tan \theta - \tan \theta_0$. Creep deformations concentrate at first in this zone and cause slow rotation along the potential surface BB of sliding around a certain centre C. Due to the progressive creeping the re-distribution of stresses occurs and a stretched curved belt D is involved in the process with time (full line, Fig. 6).

To the rotational depth creep belong two types of slope deformation: asequent creeping and S-like creeping.

1. *Asequent creeping* (Fig. 6) takes place in rock masses without bedding or lamination. The determination of this deformation is not easy because of the absence of indicating layers. In some cases this type of creeping may be established by formation of slickensides due to the orientation of scale-like particles along the direction of creeping or by other similar evidence.

2. *S-like creeping* differs from the preceding case in that respect that the rock masses represent steeply dipping beds of rocks having values of the coefficient of viscosity of the same order. Due to secular creeping the part of beds located in the above-mentioned belt D bends gradually and takes an S-like form (Fig. 7).

If the beds extend up to the day surface the weathered edges of strata may also experience outcrop or terminal creeping. In these cases a combination of two types of creeping may be observed. A landslide in one of the alpine valleys may serve as an example (Talobre, 1957).

GENERAL DEPTH CREEP OF SLOPES

General depth creep is a wide spread kind of slope deformation which manifests when the geological structure of the slope body differs from the above mentioned simple ones. There are many varieties of general depth creep which are not yet well differentiated. The following two types may be easily distinguished: *insequent* creeping and *compensating* creeping.

1. *Insequent creeping* takes place when the inclined competent strata A are being deformed as a result of creeping of underlying uncompetent layers B (Fig. 8). Due to the creeping of the lower soft strata, the support weakens and the creeping extends on the overburden hard rocks. The direction of creeping intersects the plane of stratification. Such was the mechanism of great Turtle Mountain landslide of 1903 near Frank, Alberta (Canada), where finally about 30 millions of cubic metres

of rocks were involved in rapid movement (Fig. 8). The overlying limestone were broken by a system of fissures deeply cutting the reverse slope of the mountain in the phase of depth creep (Terzaghi, 1950; McConnel and Brock, 1904).

Compound types of creeping of slopes may be observed depending on the geological structure of the slope body. One of such cases is when the strata dip towards the slope, the inclination of the bedding is less than that of the slope and some of the lower layers are uncompetent. Consequent creeping occurs in the lower part of the slope body along uncompetent layers while inconsequent creeping takes place in the upper part of the body. The result is a system of fissures which intersect the bedding in this part*.

2. *Compensating creeping* originates in erosion valleys with horizontal bedding when competent A strata are underlaid by uncompetent B ones (Fig. 9). Due to erosion the unloaded bottom C of the valley bulges upward; the uncompetent strata exhibit minor folding D. The slopes of the valley experience subsidence followed by breaking of competent rock masses into blocks. The blocks are inclined and move towards the bottom of the valley. The result of this deformation is bulging in the middle part of the valley and cambering in the lateral parts.

As an example may serve the large-scale creep disclosed by quarrying operation in the Northampton ironstone field in Central England (Hollingworth et al., 1944). Other cases were observed in Siberia (Пальшин и Тржинский, 1963) and Czechoslovakia (Záruba, 1956).

For better understanding the difference between the compensating and inconsequent creeping one can compare the base failure and the slope failure, known in soil mechanics.

The above-mentioned does not exhaust all possible types of depth creep of slopes in rock masses.

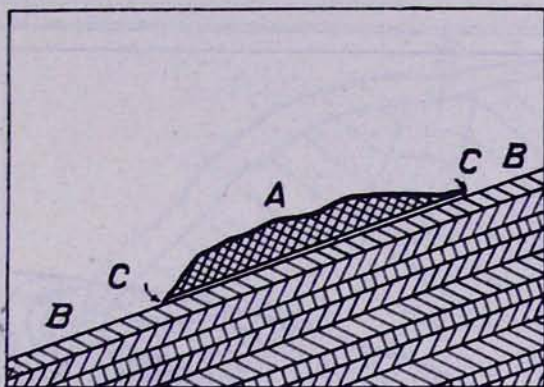
Sometimes the superficial geological structures which are formed as a result of creeping of rocks or soils on slopes are referred to as gravitational structures (Шульц, 1961); they are opposed to the tectonic structures. Since gravity inevitably participates in all processes in the Earth the term "gravitational" is inexact. It is proposed to call all such superficial structures as *clinogenic*, stressing the unique cause of their formation—the inclination or sloping of the surface.

ԳՐԱԿԱՆՈՒԹՅՈՒՆ — ЛИТЕРАТУРА — REFERENCES

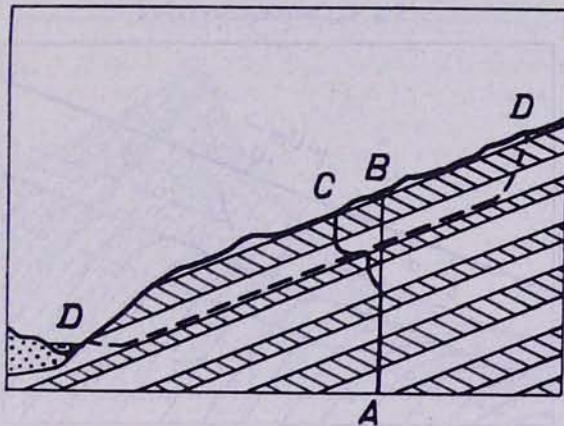
- Տեր-Մանվաճյան Գ., 1965. Լանգերի խորքային սողմի տեսության դրույտներ, ՀՍՍՀ ԳԱ Տեղեկագիր, Գիտ. երկրի մասին, 18(1):47-59.
Пальшин Г. Б. и Тржинский Ю. Б., 1963. Оползни. В кн. «Братское водохранилище, инженерная геология территории». Изд. АН СССР, Москва, 130—149.

* Such a case of compound creeping was demonstrated by S. Novosad (1967) in his discussion of the present paper at the Congress.

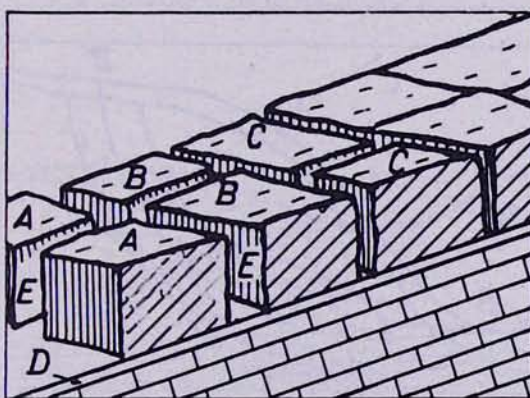
- Пенк В., 1961. Морфологический анализ. Госгеолиздат, Москва.
- Саваренский Ф. П., 1939. Инженерная геология, 2 изд. ГОНТИМ, Ленинград.
- Талобр Ж., 1960. Механика горных пород. ГНТИ литературы по горному делу, Москва.
- Тер-Степанян Г. И., 1961. О длительной устойчивости склонов. Изд. АН Арм. ССР, Ереван.
- Тер-Степанян Г. И., 1964. О механизме образования загиба голов пластиов. ДАН Арм. ССР, т. 38 (2): 93—99.
- Тер-Степанян Г. И., 1965. Полевое определение реологических характеристик грунтов на склонах. ДАН Арм. ССР, 40 (1): 7—12.
- Терцаги К., 1958. Механизм оползней. В сб. «Проблемы инженерной геологии», Москва, Изд. Иностр. литер., 1: 174—219.
- Шульц С. С., 1961. Поверхностные гравитационные перемещения и гравитационная текtonика. Ученые записки ЛГУ, Изд. Ленинградского университета, Л., 298 : 3—26.
- Cotton S. A., 1949. Geomorphology, 5 ed., N. Y., J. Wiley & Sons.
- Heim Alb., 1932. Bergsturz und Menschenleben. Beibl. z. Vierteljahrsschr. d. Naturforsch. Gesell. Zürich, Jg. 77, No. 20. Geol. Nachlese Nr. 30.
- Hollingworth S. E., Taylor J. H. and Kellaway G. A., 1944. Large-scale superficial structures in the Northampton Ironstone Field. Geol. Soc. London, v. C., n. 397—398, p. 1—44.
- Kopp J., 1936. Die Bergstürze des Roßberges. Eclog. geol. Helv., 29(2):490—493.
- McConnel R. G. and Brock R. W., 1904. Report on the great landslide at Frank Alberta. App. to „Rep. Subt. Mines“, Canada Dept. Interior, Ann. Rept. 1902—1903, pt. 8.
- Müller L., 1955. Die Sicherung des linken Landpfeilers am Kraftwerk Sarobi (Afghanistan) gegen den Talzuschub des Gebirges. Geol. und Bauwes., 21(4):149—161.
- Novosad S., 1967. Discussion on natural and excavated slopes. Proceedings, First Congress, Internat. Soc. Rock Mech., Lisbon 1966, 3:469.
- Penk W., 1924. Die morphologische Analyse. Geograph. Abhandl., 2 Reihe, H. 2., Berlin, L. Engelhorn.
- Sharpe C. F. S., 1938. Landslides and related phenomena. N. Y., Columbia University Press.
- Singer M., 1932. Der Baugrund. Wien, Springer.
- Stini J., 1952. Neuere Ansichten über „Bodenbewegungen“ und über ihre Beherrschung durch den Ingenieur. Geol. und Bauwes., 19(1):31—54.
- Talobre J., 1957. La mécanique des roches appliquée aux travaux publics. Paris, Dunod.
- Ter-Stepanian G., 1963. On the long-term stability of slopes. Norwegian Geotechnical Institute, Publications, 52:1—14.
- Ter-Stepanian G., 1965a. In-situ determination of the rheological characteristics of soils on slopes. Proceedings, Sixth Internat. Conf. Soil Mech. Found. Eng., Montreal, 2:575—577.
- Ter-Stepanian G., 1965b. Über den Mechanismus des Hackenwerfens. Felsmechanik u. Ingenieurgeologie, 3(2):43—49.
- Terzaghi K., 1950. Mechanism of landslides. Geol. Soc. Am., Berkey vol., 83—123.
- Záruba Q., 1965. Deformace hornin vzniklé vytlačováním podloží. Rozpravy Československé Akademie Věd, 66(15).
- Zay K., 1807. Goldau und seine Gegend, wie sie war und was sie geworden. Zürich, Orell, Füssli et Co.



Նկ. 1. Սալերի սանում
Рис. 1. Сползание плит
Fig. 1. Creepin^z of slabs



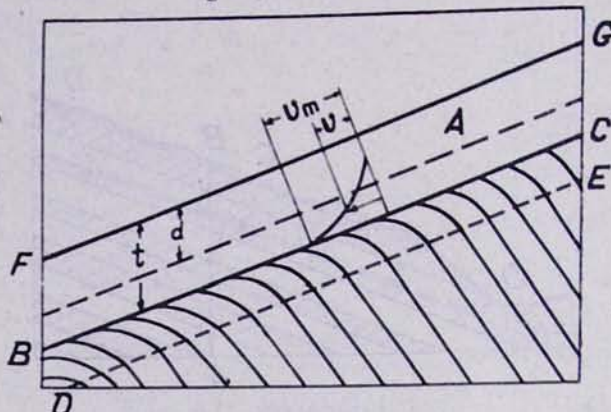
Նկ. 2. Կոնսեկվենտ սող
Рис. 2. Консеквентная ползучесть
Fig. 2. Consequent creeping



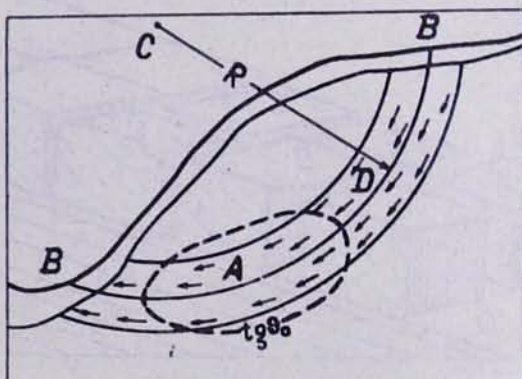
Նկ. 3. Բլոկների տարասողում
Рис. 3. Расползание блоков
Fig. 3. Creeping away of blocks



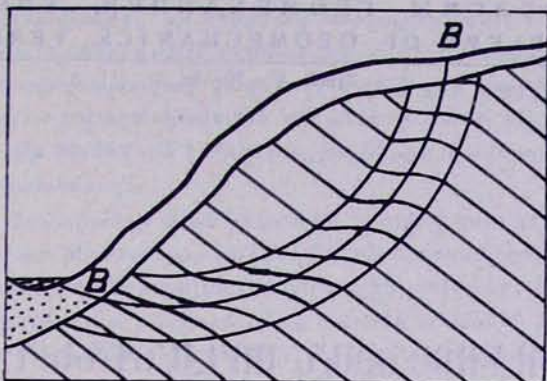
նկ. 4. Մերկացումների սովորություն
Рис. 4. Ползучесть обнажений
Fig. 4. Outercrop creeping



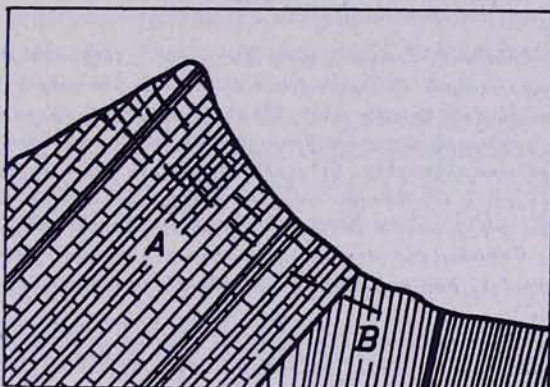
նկ. 5. Շերտազովումների սովորություն
Рис. 5. Ползучесть голов пластов
Fig. 5. Terminal creeping



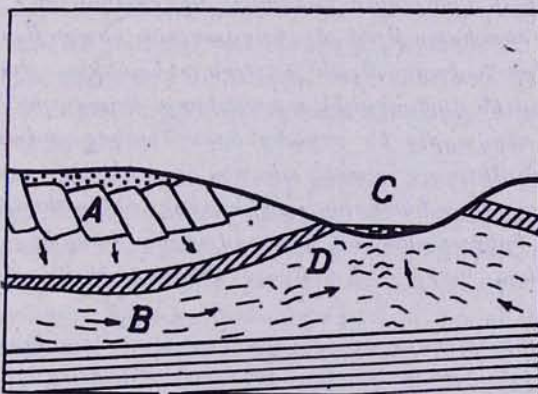
նկ. 6. Ասեղքինան սովորություն
Рис. 6. Асеквентная ползучесть
Fig. 6. Asequent creeping



Նկ. 7. S-ակերպ սողի
Рис. 7. S-образная ползучесть
Fig. 7. S-like creeping



Նկ. 8. Խեխկվենա սողի
Рис. 8. Инсеквентная ползучесть
Fig. 8. Insequent creeping



Նկ. 9. Կոմպենսացիոն սողի
Рис. 9. Компенсационная ползучесть
Fig. 9. Compensating creeping